

تحلیل تابش گسیل شده از آندولاتورهای با قطبش متغیر

ابوالفضل اسکندری^{*} ^۱، عبدالحسین رضوانی^۲

۱- دانشجوی کارشناسی ارشد، ۲- استادیار، گروه فیزیک، دانشگاه امام حسین (ع)

(دریافت: ۱۳۹۰/۰۶/۰۷، پذیرش: ۱۳۹۱/۰۶/۱۵)

چکیده

در این تحقیق، آندولاتورهای تخت و با قطبش متغیر مورد بررسی و مقایسه قرار گرفته است. با توجه به معادلات میدان در درون این آندولاتورها، نیروی لورنتز و تقریب الکترون‌های نسبیتی مستقل، مسیر الکترون‌ها در درون آندولاتورها محاسبه شد. شتاب الکترون‌ها محاسبه و با استفاده از نظریه تابش ذره باردار شتاب‌دار و معادله لینارد-ویجرت، توان سطح شده از لیزر الکترون آزاد بررسی شد. پیچیدگی معادلات به دست آمده و مشکل تحلیلی آنها باعث شد تحلیل و بررسی معادلات و نتیجه‌های منتج از آنها به صورت عددی صورت گیرد. نتیجه‌ها به کمک منحنی‌ها و صفحه‌های دو بعدی نمایش داده شد. مقایسه نتیجه‌های به دست آمده نشان می‌دهد در ناحیه حول محور آندولاتور شدت خروجی لیزر الکترون آزاد با آندولاتور با قطبش پیچشی نسبت به تخت بیشتر است. در آندولاتورهای با قطبش پیچشی در اختلاف فاز صفر پارامترهای آندولاتور، شدت در مقادیری از پارامترها که جمع توان دو آنها برابر با مقدار ثابت است، بیشترین تابش را دارد. بررسی نقش اختلاف فاز پارامترهای آندولاتورهایی که در حالت چرخشی عمل می‌کنند نیز مورد بررسی قرار گرفت. نتیجه‌های به دست آمده نشان داد که در اختلاف فازهای $\frac{\pi}{4}$ و $\frac{\pi}{2}$ در مقادیری از پارامترهای آندولاتور که با هم برابر هستند، شدت تابش بیشترین مقدار را دارد. مقایسه این دو حالت نشان می‌دهد که شدت تابش در اختلاف فاز $\frac{\pi}{4}$ نسبت به $\frac{\pi}{2}$ بیشتر است. هارمونیک‌های آندولاتور با قطبش متغیر بررسی و مقایسه شد.

کلیدواژه‌ها: لیزر الکترون آزاد، آندولاتور با قطبش متغیر.

Analysis of Radiation Emitted by Variable Polarizing Undulators

A. Eskandari^{*}; A. H. Rezvani

Department of Physics, Imam Hossein University
(Received: 08/29/2011; Accepted: 09/05/2012)

Abstract

In this research, the planer and variable polarizing undulators are investigated and compared. Regarding field equations in to the undulators, independent relativistic electron approximation and Lorentz's force, the trajectories of electrons in undulators are calculated. Using calculated electrons' acceleration, theory of accelerated charged particle radiation and Lienard-Wiechert equation, the power of free electron laser are investigated. Complexity of the obtained equations and their analytical difficulty caused numerical investigation of the results. The results are represented by two and three dimensional diagrams. The comparison of output power from free electron laser with variable polarizing undulator and with planer undulator show that output power of helical undulators are more than linear undulators. For helical undulators with zero phase difference, the maximum output power is at the points where summation of square of undulator parameters is equal to a constant. The role of the phase difference in the helical undulator has been investigated. The results showed that with $\frac{\pi}{4}$ and $\frac{\pi}{2}$ phase differences, output power of free electron laser at equal undulator parameters are maximum. Comparison of these two state showed that output power with phase difference of $\frac{\pi}{2}$ is more than $\frac{\pi}{4}$. The harmonics of planer and variable polarizing system are evaluated and compared.

Keywords: Free Electron Laser, Variably Polarizing Undulators.

*Corresponding author E-mail: eskandary_1363@yahoo.com

Passive Defence Sci. & Tech. 2012, 2, 121-125

۱. مقدمه

اصل اولیه در دفاع غیرعامل با تسليحات نظامی، شناسایی و درک مکانیزم عملکرد آنهاست. جنگ‌افزارهای لیزری، بخش مهمی از تسهیلات است که در آینده، بیشتر مورد استفاده قرار خواهد گرفت. در رأس تسليحات لیزری، اسلحه لیزر لکترون آزاد قرار دارد. قابل تنظیم بودن نور خروجی این لیزر و توان بالای آن از جمله خواصی است که لیزر لکترون آزاد را لیزرهای دیگر متمایز ساخته است. مهم‌ترین کاربرد لیزر لکترون آزاد در علوم نظامی و همچنین علوم پزشکی است [۱]. در این لیزرها آندولاتورها نقش اساسی و تعیین کننده‌ای دارند و در این مقاله سعی بر این است فیزیک آندولاتورها مورد بررسی قرار گیرد.

زمانی که لکترون شتابدار در مسیر منحنی حرکت می‌کند، تابش گسیل می‌کند، که این تابش به تابش سینکروترونی^۱ معروف است. طیف این تابش، امواج رادیویی تا اشعه x شامل می‌شود و کاربرد بسیاری در علوم مختلف نظامی، پزشکی، فیزیک هسته‌ای، فیزیک حالت جامد و زیست شناسی دارد [۲ و ۳]. یکی از راههای تولید تابش سینکروترونی، عبور باریکه لکترون‌های نسبیتی از یک آندولاتور لیزر لکترون آزاد است. زمانی که لکترون‌ها وارد آندولاتور می‌شوند تحت تأثیر میدان مغناطیسی شروع به نوسان کرده و به موجب این نوسان تابش می‌کنند که این تابش یک تابش سینکروترونی است. حرکت لکترون‌های نسبیتی یک میدان الکتریکی تأخیری به دنبال خواهد داشت که از رابطه زیر به دست می‌آید [۴]:

$$E(t) = \frac{e}{4\pi\epsilon_0} \left\{ \frac{(1-\beta^2)(n-\beta)}{r^2(1-n\cdot\beta)^3} + \frac{[n \times ((n-\beta) \times \beta)]}{cr(1-n\cdot\beta)^3} \right\}_{ret} \quad (1)$$

میدان مغناطیسی تأخیری توسط رابطه زیر به میدان الکتریکی مربوط می‌شود:

$$B(t) = \frac{[n_{ret} \times E]}{c}$$

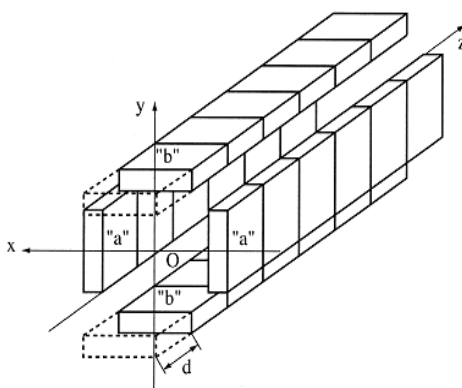
که در آن بردار عمود بر سطح \vec{n} تأخیری و β سرعت نسبی لکترون است.

توان تابش گسیل شده بر واحد زاویه فضایی با توان دوم میدان الکتریکی رابطه مستقیم دارد:

$$\frac{dp}{d\Omega} = \frac{d^2U}{d\Omega dt} = \frac{d^2U}{d\Omega dt} \frac{dt}{dt} = \frac{r^2 |E|^2}{\mu_0 c} (1 - \vec{n} \cdot \beta) \quad (2)$$

که P توان و U انرژی طیف تابشی ناشی از حرکت لکترون‌های شتابدار است.

در لیزرهای لکترون آزاد ویگلرها و آندولاتورها نقش اساسی و مهمی دارند. در ساخت نسل جدید لیزرهای لکترون آزاد تنوع بسیاری در نوع آندولاتور وجود دارد [۵]. این تغییر و تنوع، همواره در جهتی بوده است که تولید تابش الکترومغناطیسی همدوس با طول موج‌های کوتاه را به همراه داشته باشد. آندولاتور نسبت به ویگلر دارای طول موج کوتاه‌تری است و در لیزرهای با انرژی بالا مورد استفاده قرار



شکل ۱. آندولاتور با قطبش متغیر

طیف گسیل شده از لکترون‌هایی که درون آندولاتور حرکت می‌کنند را به اصطلاح تابش آندولاتور می‌نامیم. شدت تابش را با استفاده از توابع تعمیم یافته بسط داده‌ایم و همچنین پارامتری را به عنوان پارامتر آندولاتور معرفی کرده‌ایم که به طول موج آندولاتور و شدت میدان مغناطیسی آندولاتور وابسته است و تأثیر پارامتر آندولاتور بر قطبش لیزر را نیز مورد بحث قرار خواهیم داد.

² Planar Undulator

³ Helical Undulator

¹ Synchrotron Radiation

دوم قسمت ضرب خارجی انتگرال است. قسمت نمایی را به صورت زیر بسط می‌دهیم:

$$\begin{aligned} \exp\left[i\omega\left(t - \frac{\vec{n} \cdot \vec{r}}{c}\right)\right] &\equiv \\ \exp[i\omega Ht \exp[i(\zeta_a \sin(\omega_u t) + \Theta_a \sin(2\omega_u t))]] & \quad (8) \\ \times \exp[i(\zeta_b \sin(\omega_u t + \delta) + \Theta_b \sin(2\omega_u t + 2\delta))] \end{aligned}$$

به طوری که:

$$\begin{aligned} H &= \frac{1}{2} \left[\frac{1}{\gamma^2} \left(1 + \frac{K_a^2 + K_b^2}{2} \right) + \theta^2 \right], \Theta_{a,b} = \frac{K_{a,b}^2 \omega}{8\gamma^2 \omega_u} \\ \zeta_a &= -\frac{K_a \omega}{\gamma \omega_u} \theta \sin \varphi, \zeta_b = -\frac{K_b \omega}{\gamma \omega_u} \theta \cos \varphi \end{aligned}$$

نمایی حاصل می‌شود.تابع نمایی اول به جمله فاز مربوط می‌شود، جمله دوم حرکت دو قطبی و جمله سوم حرکت غیر دو قطبی را توصیف می‌کند.

$$\exp\left[i\omega\left(t - \frac{\vec{n} \cdot \vec{r}}{c}\right)\right] = \exp[i\omega Ht] \times \sum_{n=-\infty}^{\infty} \exp[in\omega_u t] \varphi_n(\zeta_a, \zeta_b, \Theta_a, \Theta_b) \quad (9)$$

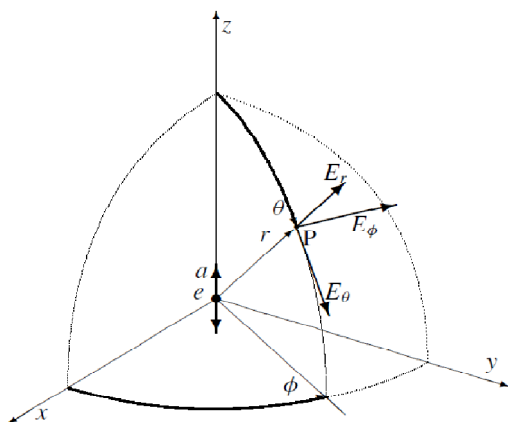
به طوری که:

$$\begin{aligned} \varphi_n(\zeta_a, \zeta_b, \Theta_a, \Theta_b) &= \sum_{r=-\infty}^{\infty} \exp[ir\delta] J_{n-r}(\zeta_a, \Theta_a) J_r(\zeta_b, \Theta_b) \end{aligned}$$

رابطه (۹) نشان‌دهنده کاربرد توابع بسل در شدت تابش آندولاتور هستند [۱۰].

با توجه به شکل (۲) میدان الکتریکی هم در راستای φ و هم در راستای θ موجود است [۴]؛ و از آنجا که تابش با توان دوم میدان رابطه مستقیم دارد، در نتیجه برای شدت تابش الکترومغناطیسی داریم:

$$\frac{d^2 I}{d\omega d\Omega} = \left(\frac{d^2 I}{d\omega d\Omega} \right)_\theta + \left(\frac{d^2 I}{d\omega d\Omega} \right)_\varphi \quad (10)$$



شکل ۲. جهت گیری میدان الکتریکی در دستگاه مختصات کروی

۲. تحلیل طیفی

زمانی که الکترون با سرعتی نزدیک به سرعت نور درون یک آندولاتور حرکت می‌کند، شدت تابش گسیل شده از الکترون در راستای محور آندولاتور بر واحد زاویه فضایی طبق انتگرال لینارد-ویچرت^۱ به صورت زیر تعریف می‌شود [۱۰]:

$$\begin{aligned} \frac{d^2 I}{d\omega d\Omega} &= \frac{e^2 T^2}{4\pi^2 c} \\ &\times \left\{ \int \vec{n} \times (\vec{n} \times \vec{\beta}) \exp\left[i\omega\left(t - \frac{\vec{n} \cdot \vec{r}}{c}\right)\right] dt \right\}^2 \end{aligned} \quad (4)$$

\vec{n} بردار نرمال، β معرف سرعت الکترون‌ها و \vec{r} بیانگر مسیر حرکت الکترون‌ها درون آندولاتور است. T زمان مؤثری است که طول می‌کشد تا الکترون در سرتاسر آندولاتور حرکت کند و برابر است با $N\lambda_u/c$ ، که در آن N دوره تناوب آندولاتور یا آهنرباهای به کار رفته در آندولاتور است. بردار نرمال در دستگاه مختصات کروی به این صورت است:

$$\vec{n} = (\sin \theta \cos \varphi, \sin \theta \sin \varphi, \cos \theta)$$

برای به دست آوردن انتگرال لینارد-ویچرت از قانون نیروی لورنتس مختصات حرکت الکترون و سرعت الکترون را به دست می‌آوریم و در رابطه (۲) جایگذاری می‌کنیم. معادله دینامیکی الکترون تحت تأثیر

نیروی لورنتس به صورت زیر بیان می‌شود:

$$\begin{aligned} \frac{d}{dt}(\gamma \beta) &= -\frac{e}{mc}(E + \beta \times B) \quad (5) \\ \gamma \frac{d\beta}{dt} &= -\frac{e}{mc}\beta \times B \end{aligned}$$

در معادله فوق پارامتر مربوط به انرژی γ ثابت فرض شده است و

هم‌چنین برای میدان الکتریکی داریم: $(E = 0)$

با استفاده از رابطه (۵) مؤلفه‌های سرعت در سه بعد به صورت زیر است:

$$\beta_x = -\frac{K_b}{\gamma} \cos(\omega_u t + \delta), \beta_y = \frac{K_a}{\gamma} \cos(\omega_u t), \quad (6)$$

$$\beta_z = \beta^* - \frac{1}{4\gamma^2} [K_a^2 \cos(2\omega_u t + 2\delta) + K_b^2 \cos(2\omega_u t)]$$

به طوری که:

$$K_{a,b} = \frac{e B_{a,b} \lambda_u}{2\pi n c^2}, \beta^* = 1 - \frac{1}{2\gamma^2} \left[1 + \frac{K_a^2 + K_b^2}{2} \right]$$

نسبیتی الکترون می‌نامیم. با انتگرال گیری از سرعت الکترون می‌توان مختصات مکان الکترون در سه بعد را به دست آورد:

$$x = -\frac{K_b c}{\gamma \omega_u} \sin(\omega_u t + \delta), y = \frac{K_a c}{\gamma \omega_u} \sin(\omega_u t) \quad (7)$$

$$z = \beta^* ct - \frac{c}{8\gamma^2 \omega_u} [K_a^2 \sin(2\omega_u t + 2\delta) + K_b^2 \sin(2\omega_u t)]$$

با قرار دادن این مقادیر در انتگرال لینارد-ویچرت می‌توان شدت بر واحد زاویه فضایی را به دست آورد. برای ادامه مراحل رابطه (۴) را دو قسمت در نظر می‌گیریم، بخش اول قسمت نمایی انتگرال و بخش

^۱ Lienard-Wiechert

باشیم، هارمونیک اول درخشندگی در شرایط تشدید به صورت زیر حاصل می شود:

$$\left(\frac{d^2 I}{d\omega d\Omega} \right)_{\theta=0} = \frac{e^2 N^2 \gamma^2}{c} \left(\frac{1}{1 + \frac{K^2}{2}} \right)^2 \left\{ \sin\left(\frac{\nu_1}{2}\right) \right\}^2 \quad (16)$$

$$\times \left\{ K^2 (J_1 - J_0)^2 \right\}$$

که برای آرگومان تابع بسل داریم:

$$\theta_1 = \frac{K^2}{4 \left(1 + \frac{K^2}{2} \right)}$$

با مقایسه رابطه های (۱۶) و (۱۵) این طور استنباط می شود که مقادیر K_a و K_b و همین طور اختلاف فاز بین میدان های مغناطیسی در آندولاتور قطبش متغیر، در نوع قطبش خطی و قطبش پیچشی تأثیرگذار خواهد بود.

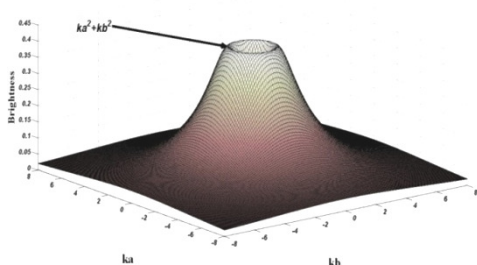
۳. نتایج و بحث

شکل (۳) نمودار سه بعدی شدت تابش آندولاتور در شرایط تشدید بر حسب پارامترهای K_a و K_b در اختلاف فاز صفر است. این نمودار نشان می دهد که برای مقادیر خاصی از K_a و K_b شدت تابش به بیشترین مقدار خود می رسد. مکان هندسی نقاطی که در آن شدت تابش به حداقل مقدار خود می رسد، دایره ای است که معادله آن به صورت $K_a^2 + K_b^2 = r^2$ و r مقداری ثابت است.

در ادامه چنانچه نمودار شدت بر حسب مقدار ثابت r در دو بعد رسم شود، بیشترین مقدار در این نمودار همان شعاع های دایره ای است که در نمودار سه بعدی ذکر شد. نکته جالب توجه دیگر این است که نمودار به طور دقیق، درخشندگی آندولاتور تخت را نشان می دهد.

شکل (۴) نشان دهنده این مطلب است.

این بدان معنی است که در اختلاف فاز صفر به ازای تمام مقادیر برای K_a و K_b که در رابطه $r = \sqrt{K_a^2 + K_b^2}$ صدق می کنند، آندولاتور دارای قطبش خطی است و همانند یک آندولاتور تخت عمل می کند. ذکر این نکته ضروری است که نمودارهای سه بعدی برای درک بهتر مفاهیم، در بازه های متقاضی رسم شده است و مقادیر منفی برای پارامتر آندولاتور در نظر گرفته نمی شود. نکته دیگر در رسم نمودارها این است که مقدار $\frac{e^2 N^2 \gamma^2}{c}$ ثابت فرض شده است.



شکل ۳. نمودار سه بعدی شدت تابش آندولاتور بر حسب پارامترهای آندولاتور در اختلاف فاز صفر ($\delta = 0$)

اگر شدت تابش را روی محور^۱ در نظر بگیریم تنها یک مؤلفه از رابطه (۸) باقی می ماند، که به صورت زیر است:

$$\left(\frac{d^2 I}{d\omega d\Omega} \right)_{\theta=0} = \frac{e^2 T^2}{4\pi^2 c} \left(\frac{1}{2\gamma} \right)^2 \times \sum_{n=1}^{\infty} \left\{ \omega \sin c \left[(\omega H - n\omega_u) \frac{T}{2} \right] \right\}^2 \times \left\{ (K_a^2 + K_b^2) \left(J_{\frac{n+1}{2}}^2 + J_{\frac{n-1}{2}}^2 \right) - 2\sqrt{K_a^4 + K_b^4 + 2K_a^2 K_b^2 \cos(2\delta)} J_{\frac{n+1}{2}} J_{\frac{n-1}{2}} \right\} \quad (11)$$

رابطه (۱۱) بیانگر درخشندگی روی محور است. در این حالت درخشندگی در راستای φ برابر صفر است. با توجه به توابع به بسل در معادله (۱۱)، تنها می توان برای مقادیر فرد n درخشندگی را به دست آورد. رابطه درخشندگی را به صورت زیر بازنویسی می کنیم:

$$\left(\frac{d^2 I}{d\omega d\Omega} \right)_{\theta=0} = \frac{e^2 T^2}{4\pi^2 C} \left(\frac{\omega}{2\gamma} \right)^2 \sum_{n=1}^{\infty} \left\{ \frac{\sin \left[(\omega H - n\omega_u) \frac{T}{2} \right]}{\left[(\omega H - n\omega_u) \frac{T}{2} \right]} \right\}^2 \times \left\{ (K_a^2 + K_b^2) \left(J_{\frac{n+1}{2}}^2 + J_{\frac{n-1}{2}}^2 \right) - 2\sqrt{K_a^4 + K_b^4 + 2K_a^2 K_b^2 \cos(2\delta)} J_{\frac{n+1}{2}} J_{\frac{n-1}{2}} \right\} \quad (12)$$

آرگومان تابع بسل نیز به صورت زیر تعریف می شود:

$$\Theta_n = n \frac{\sqrt{K_a^4 + K_b^4 + 2K_a^2 K_b^2 \cos(2\delta)}}{4 \left(1 + \frac{K_a^2 + K_b^2}{2} \right)}$$

هارمونیک اول برای درخشندگی به صورت زیر به دست می آید:

$$\left(\frac{d^2 I}{d\omega d\Omega} \right)_{\theta=0} = \frac{e^2 T^2}{4\pi^2 C} \left(\frac{\omega}{2\gamma} \right)^2 \left\{ \frac{\sin \left[(\omega H - \omega_u) \frac{T}{2} \right]}{\left[(\omega H - \omega_u) \frac{T}{2} \right]} \right\}^2 \times \left\{ (K_a^2 + K_b^2) \left(J_1^2 + J_0^2 \right) - 2\sqrt{K_a^4 + K_b^4 + 2K_a^2 K_b^2 \cos(2\delta)} J_1 J_0 \right\} \quad (13)$$

با کمی دقت در رابطه (۱۳) مشاهده می شود که این رابط زمانی

بیشینه می شود که داشته باشیم:

$$\nu_1 = (\omega H - \omega_u) T = 0 \Rightarrow \omega_1 = \frac{\omega_u}{H} = \frac{2\gamma^2 \omega_u}{1 + \frac{K_a^2 + K_b^2}{2}} \quad (14)$$

این شرایط را شرایط تشدید می نامیم و فرکانس به دست آمده را فرکانس تشدید می گوییم. با جای گذاری فرکانس تشدید در رابطه درخشندگی، برای هارمونیک اول در شرایط تشدید داریم:

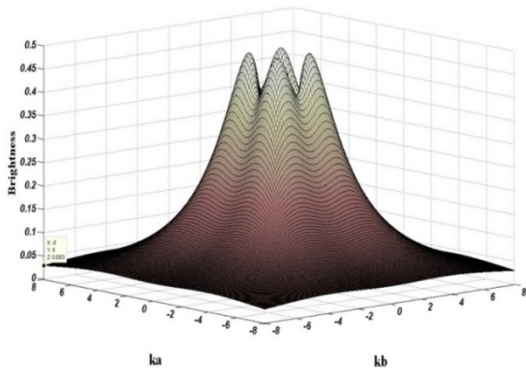
$$\left(\frac{d^2 I}{d\omega d\Omega} \right)_{\theta=0} = \frac{e^2 N^2 \gamma^2}{c} \left(\frac{1}{1 + \frac{K_a^2 + K_b^2}{2}} \right)^2 \left\{ \sin\left(\frac{\nu_1}{2}\right) \right\}^2 \times \Phi_1(K_a, K_b, \delta) \quad (15)$$

به طوری که:

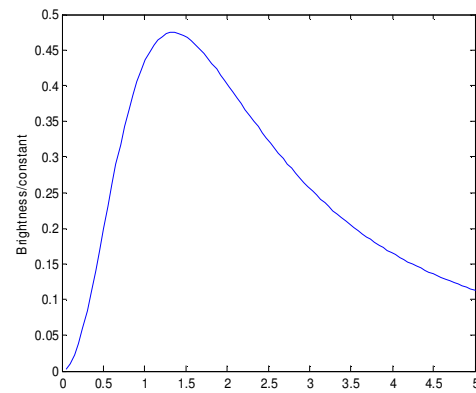
$$\left\{ (K_a^2 + K_b^2) \left(J_1^2 + J_0^2 \right) - 2\sqrt{K_a^4 + K_b^4 + 2K_a^2 K_b^2 \cos(2\delta)} J_1 J_0 \right\}$$

اگر همین شرایط را برای یک آندولاتور تخت با پارامتر ثابت k داشته

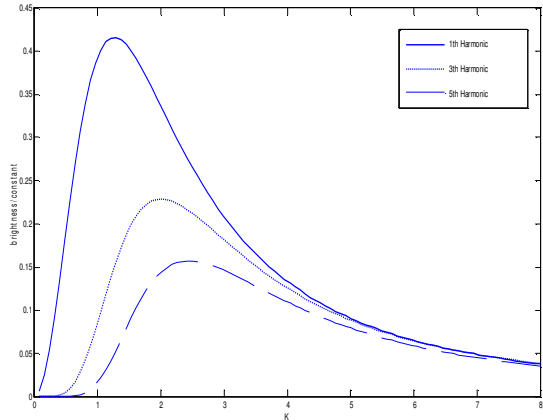
¹ On-axis



شکل ۶. نمودار سه بعدی شدت تابش آندولاتور بر حسب پارامترهای آندولاتور در اختلاف فاز صفر $\left(\delta = \frac{\pi}{2}\right)$



شکل ۴. نمودار دو بعدی شدت بر حسب پارامترهای آندولاتور در اختلاف فاز صفر $(\delta = 0)$



شکل ۷. درخشندگی آندولاتور تخت برای اولین، سومین و پنجمین هارمونیک

۴. مراجع

- [1] http://En.Wikipedia.org/Wiki/Directed-Energy_Weapon, 2012.
- [2] Dattoli, G.; Renieri, A.; Torre, A. "Lectures on FEL and Related Topics."; World Scientific publishing, Singapore, 1993.
- [3] Duke, P. J. "Synchrotron Radiation."; Oxford Series on Synchrotron Radiation, Oxford University Press: Oxford, 2000.
- [4] Hofmann, A. "The Physics of Synchrotron Radiation."; Cambridge University Press: New York, 2004.
- [5] Onuki, H.; Elleaume, P. "Undulators, Wigglers and Their Applications."; Taylor & Francis Inc: New York, 2004.
- [6] Gupta, V.; Mishra, G. "Variable Polarized Harmonic Undulator Free Electron Laser."; Nucl. Instrum. Methods Phys. Res., Sect. A 2007, 574, 150–157
- [7] Dattolia, G.; Giannessia, L. "Two Harmonic Undulators and Harmonic Generation in High Gain Free Electron Lasers."; Nucl. Instrum. Methods Phys. Res., Sect. A 2002, 495, 48-57.
- [8] Dattoli, G.; Bucci, L. "Variably Polarizing Undulators: Spectral Properties and Free Electron Laser Gain."; J. Optics Communications 2000, 177, 323-331.
- [9] Jackson, J. D. "Classical Electrodynamics."; Wiley, New York, 1975.
- [10] Dattoli, G.; Torre, A. "Theory and Applications of Generalized Bessel Functions."; ARACNE Edit Rice, Rome, 1996.

آندولاتور زمانی دارای $\frac{\pi}{4}$ با توجه به رابطه 14 در اختلاف فازهای قطبش خطی خواهد بود که برای پارامترهای آندولاتور داشته باشیم: $K_{a,b} = 0, K_{b,a} \neq 0$

پارامتر بدون بعد آندولاتور به صورت زیر تعریف می‌شود:

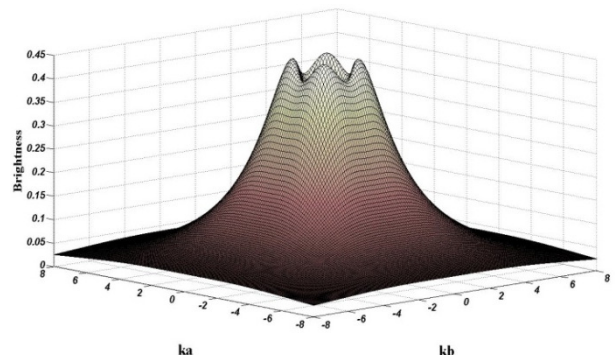
$$K_{a,b} = \frac{eB_{a,b}\lambda_u}{2\pi mc^2} = 93.4 \times 10^{-6} \times B_{a,b}[T]\lambda_u[m] \quad (17)$$

این پارامتر به شدت میدان مغناطیسی متناوب و همچنین به طول موج آندولاتور وابسته است. طول موج تشدید در لیزر الکترون آزادی که با آندولاتور قطبش متغیر کار می‌کند به صورت زیر است:

$$\lambda_n = \frac{\lambda_u}{2n\gamma^2} \left(1 + \frac{K_a^2}{2} + \frac{K_b^2}{2} \right) \quad (18)$$

این رابطه کوکپذیری لیزر الکترون آزاد را نشان می‌دهد، بدین صورت که با تغییر پارامترهای آندولاتور می‌توان طول موج لیزر را تنظیم کرد و نشان می‌دهد که برای طول موج‌های کوتاه باید پارامترهای آندولاتور مقدار کوچکی داشته باشند.

نمودار شکل (۷) واستگی شدت را به پارامتر آندولاتور تخت در هارمونیک‌های متفاوت نشان می‌دهد. با افزایش شماره هارمونیک مقدار پارامتر آندولاتور برای بیشینه شدت افزایش می‌یابد. رفتار درخشندگی آندولاتوری که با قطبش پیچشی کار می‌کند و برای هارمونیک‌های متفاوت نیز به همین صورت خواهد بود.



شکل ۵. نمودار سه بعدی شدت تابش آندولاتور بر حسب پارامترهای آندولاتور در اختلاف فاز صفر $\left(\delta = \frac{\pi}{4}\right)$